

ИТЛАРДА ОРҚА ОЁҚ АМПУТАЦИЯСИДАН КЕЙИН МИЯЧА ЧУВАЛЧАНГИ ТИЛЧА БЎЛАГИ ДОНАДОР ҚАВАТИНИНГ МОРФОЛОГИК ВА МОРФОМЕТРИК ЎЗГАРИШЛАРИ

Ахмедов У.Б.,

Андижон давлат тиббиёт институти.

✓ *Резюме,*

Ушбу илмий ишда орқа оёқ ампутацияси ўтказилган ишлар миячаси архицеребеллумга таалуқли мияча орқа қисми тилча бўлакчаси пўстлоги донадор қаватининг морфология ва морфометрияси ўрганилади. Тажрибанинг бошлангич давларида ушбу донадор қаватда нейроцитлар сонининг кескин камайиши, мия тўқимасининг шиши ҳисобига қалинлашиши, ҳам саватсимон, ҳам юлдузсимон ҳужайралар ўлчамларининг камайиши кузатилади. Тажрибанинг сўнги, 60 ва 90 кунлигига нейроцитлар сони кўпайиб, юлдузсимон ҳужайралар ўлчамлари компенсатор гипертрофия ҳисобига йириклишади. Морфологик жиҳатдан тажрибанинг биринчи ярмидаги саватсимон ва юлдузсимон ҳужайраларнинг дистрофия, атрофия, некробиозга учраса, охирги давларида компенсатор гипертрофия ва гиперхромазияга учраганини аниқланади.

Калим сўзлар: ишлар, оёқ ампутацияси, мияча пўстлоги, тилча бўлаги, донадор қават, юлдузсимон нейроцитлари

МОРФОЛОГИЯ И МОРФОМЕТРИЯ ГРАНУЛЯРНОГО СЛОЯ КОРЫ ДОЛЬКИ ЯЗЫЧКА ЧЕРВЯ МОЗЖЕЧКА ПОСЛЕ АМПУТАЦИИ ЗАДНЕЙ КОНЕЧНОСТИ У СОБАК

Ахмедов У.Б.,

Андижанский государственный медицинский институт.

✓ *Резюме,*

В данной работе изучено морфология и морфометрия гранулярного слоя коры дольки язычка червя мозжечка в динамике после ампутации задней конечности собак. В ранние сроки эксперимента отмечается уменьшение толщины данного слоя, числа звездчатых нейроцитов, и развитие отека межклеточной ткани. На 60 и 90 сутки эксперимента количество как корзинчатых, так и звездчатых клеток увеличивается, размеры звездчатых клеток подвергается компенсаторному гипертрофии. Морфологически в ранние сроки эксперимента в звездчатых клетках отмечается дистрофия, атрофия и некробиоз, в отдаленные сроки развивается компенсаторная гипертрофия и гиперхромазия нейроцитов.

Ключевые слова: собака, ампутация конечности, мозжечок, язычок, гранулярный слой, клетки Пуркинье.

MORPHOLOGY AND MORPHOMETRY THE CORTEX CEREBELLAR WORM OF THE UVULA LOBULE GRANULAR LAYER AFTER AMPUTATION OF THE BACK LIMB IN DOGS

Akhmedov U.B.,

Andijan State Medical Institute.

✓ *Resume,*

In this work, we studied the morphology and morphometry of the cortex cerebellar worm of the uvula lobule granular layer in dynamics after amputation of the back limb in dogs. In the early stages of the experiment, a decrease in the thickness of this layer, the number of stellate neurocytes, and the development of edema of the extracellular tissue have been noted. On the 60th and 90th day of the experiment, the number of both basket and stellate cells increased, the size of stellate cells underwent compensatory hypertrophy. Morphologically in the early stages of the experiment dystrophy, atrophy and necrobiosis have been noted in stellate cells, in the long term compensatory hypertrophy and hyperchromasia of neurocytes have been developed.

Key words: dog, limb amputation, cerebellum, uvula, granular layer, Purkinje cells.

Долзарблиги

Мияча пўстлоги филогенетик жиҳатдан учта соҳага бўлинган: 1) архицеребеллум, 2) палеоцеребеллум, 3) неоцеребеллум. Энг қадимги соҳаси архицеребеллум ҳисобланади унга тугунча, тилча, кичгина ва бодамча бўлаклари киради. Палеоцеребеллумга тилча, марказий бўлакча, пирамида ва тиқинча бўлакчалари киради. Неоцеребеллум эса қиялик, барг, бўртмача ва чувалчангнинг пирамидасидан ташкил топган. Архицеребеллум ёки вестибулоцеребеллум асосан ўзининг афферентларини вестибуляр ядролардан олади ва гавда мувозанати ва ҳолатини ушлаб туради. Бунда архицеребеллумга кирувчи тилча бўлакчаси асосий ўрин эгал-

лайди [2,4,5,7]. Вестибуляр ядролардан келадиган афферент толаларнинг бир қисми тилча (lingula) бўлакчидан ўтиб, миячанинг орқа қисми тилча (uvula) бўлакчасининг каудал қисмига келади.

Миячанинг асосий вазифалари - тана мувозанати, мушаклар тонуси, секин ҳаракатлар координациясини, ҳамда бош мия ҳаракат марказидан келадиган тана мувозанатини ушловчи рефлексларни, тез мақсадли ҳаракатларни коррекциялашини бошқаради. Бунда миячанинг ҳар бир соҳаси: архицеребеллум, палеоцеребеллум ва неоцеребеллум мушаклар ҳаракати координация жараённида алоҳида вазифаларни бажаради.

Архицеребеллум узунчоқ мия вестибуляр ядро ва ретикуляр формация нейронлари фаоллигини бошқа-

ради. Шу билан у тана мувозанати ва ҳолати жараёнларига таъсир кўрсатади. Чодирсимон ядро нейронлари фаолигини Пуркинє нейронлари қўзгалганда пасайтиради, аксинча, Пуркинє нейронлари тормозланиб уларнинг фаолигини оширади.

Ушбу илмий тадқиқотда асосий мақсад қилиб, орқа оёқ ампутацияси ўтказилган итлар миячаси архицеребелумга таълуқли миячанинг орқа қисми тилча (*uvula*) бўлакчаси пўстлоги донадор қаватининг микроморфологик ва микроморфометрик ўзига хос ўзгаришларини ўрганишни олдик.

Материал ва усуllibар

Мақсадга эришиш учун вазни 9-15 кг гача бўлган 35та зотсиз ит олинди ва 2 та гуруҳга бўлинди. 5 та ит назорат гуруҳи қилиб олинди. Иккинчи гуруҳга 30 та ит киритилди ва уларда Пирогов бўйича орқа ўнг оёғи болдирининг ўрта қисмидан уч этапли ампутация амалга оширилди. Тажрибанинг 7, 21, 30, 60, 90-кунлари итлар тезкор декапитация усулида сўйилиб, миячаси ажратиб олинди. Миячани бутинлигича 5% формалиннинг нейтралланган эритмасига солиб, 1 кун давомида ушланди, кейин Флексиг усулида кесилиб, бўлакларига ажратилиб ўрганилди. Архицеребелумга тегишли қисмидан тилча бўлакча соҳаси кесиб олинди ва 10% нейтралланган формалинга солиб 2 кун қотирилди. Бўлакчалар концентрацияси ошиб борувчи спирт солинган идишлар орқали ўтказилиб, сувсизлантирилди ва парафин куйилди. Парафинли блоклардан узликсиз ҳолда кесилиб, бир-неча қатор серияда 5-8 мкмли кесмалар тайёрланди, гематоксилин-эозин бўялди. Морфометрик текширувлар Г.Г. Автандилов (1990) цитометрия

усулида амалга оширилди. Нейрон танасининг ҳажми И.Н. Боголепова (1978) бўйича конус ҳажмини аниқлаш формуласида ҳисобланди: $V = 1/3h \times d^2/4$, бунда V - нейрон танаси ҳажми, d - ҳужайра асосининг диаметри, h нейроннинг бўйи.

Натижга ва таҳдиллар

Гистологик текширув натижалари шуну кўрсатдики, назорат гуруҳида мияча чувалчанги тилча бўлаги пўстлоги донадор қавати нейрон ҳужайраларга жуда бой ва улар уч хил ҳужайралардан ташкил топган. 1) биринчи турдаги нейронлар донадор ҳужайралар (*neuronum granuloformis*) дейилади. Уларнинг ҳажми ўртача $7,4 \pm 0,8$ мкм ташкил қилди, цитоплазмаси оч, ядроши йирик думалоқ. Бу ҳужайралар бошқаларига нисбатан сон жиҳатдан энг кўп ҳисобланади. 3-4 та калта дендрити бор, улар шу қаватнинг ўзида жойлашади, қушлар панжасига ўхшаш тармоқланган кўринишида. Кўзиқоринсимон қўзгатувчи афферент толалар билан синапс пайдо қиласи. Демак, кўзиқоринсимон толалар донадор нейронларга қўзгатувчи импульсларни узатади, Гольджи ҳужайралари эса тўхтатади.

Донадор нейронларнинг ингичка, миелинсиз аксонлари юқорига кўтарилиб, молекуляр қаватда Т-шаклдаги 2 та толага бўлинади ва мияча эгатлари бўйлаб жойлашади. Бу толалар узоқ масофани босиб ўтиб, Пуркинє нейронлар орасидан ўтиб, саватсимон ва юлдузсимон нейронлар билан синапслар пайдо қиласи. Демак, донадор нейронлар нейротрансмиттер сифатида, кўзинқоринсимон қўзгатувчи толалардан олган импульсларни узоқ масофадаги Пуркинє нейронларига узатади.

Кунлар	Донадор қават калинлиги	Донадор қават ҳужайралар сони	Донадор ҳужайра диаметри, мкм	Юлдузсимон ҳужайра диаметри, мкм	Горизантал ҳужайра диаметри, мкм
Назорат	$124,6 \pm 4,3$	$5754,8 \pm 14,6$	$7,4 \pm 0,8$	$9,6 \pm 0,9$	$8,5 \pm 0,7$
7	$136,5 \pm 4,2^*$	$5324,6 \pm 12,8^*$	$7,6 \pm 0,7^*$	$10,5 \pm 0,6^*$	$8,8 \pm 0,6^*$
21	$142,4 \pm 5,7$	$4673,5 \pm 11,8$	$8,4 \pm 0,5$	$11,6 \pm 0,9$	$9,4 \pm 0,5$
30	$135,4 \pm 4,8^{**}$	$4546,6 \pm 10,5^{**}$	$7,9 \pm 0,5^{**}$	$9,5 \pm 0,7^{**}$	$8,7 \pm 0,4^{**}$
60	$122,6 \pm 3,8$	$4218,4 \pm 9,12$	$8,5 \pm 0,4$	$9,8 \pm 0,5$	$6,7 \pm 0,5$
90	$120,4 \pm 3,6^{**}$	$4122,6 \pm 9,5^{**}$	$8,2 \pm 0,3^{**}$	$9,7 \pm 0,4^{**}$	$6,6 \pm 0,4^{**}$

* — Р назорат гуруҳига нисбатан ишончлилик даражаси, ** — Р олдинги қаторга нисбатан ишончлилик даражаси.

Мияча чувалчанги тилча бўлаги пўстлоги донадор қаватининг 2-нейрони импульсларни тўхтатувчи йирик юлдузсимон нейрон (*neuronum stellatum magnum*), назорат гуруҳида уларнинг ўртача катталиги $9,6 \pm 0,9$ мкмга teng. Бу ҳужайраларнинг икки хили фарқ қилинади: аксонлари калта ва узун. Аксони калтаси Гольджи нейрони ва у ганглионар қаватига яқин жойлашади. Уларнинг дендритлари молекуляр қаватда тармоқланниб донадор нейронлар аксонлари билан синапслар пайдо қиласи. Бу нейронларнинг аксони эса донадор қаватдан ўтиб, донадор нейронлар билан синапслар пайдо қиласи. Бу юлдузсимон нейронлар қўзгалишини қўзиқоринсимон толалардан келадиган импульслар тўхтатади. Узун аксонли юлдузсимон нейронлар сон жиҳатдан кам бўлсада, уларнинг дендритлари ва аксонлари донадор қаватда кенг ва кўп тармоқланниб, оқ моддага чиқиб боради. Тахмин қилиниши мумкинки, бу ҳужайралар мияча пўстлогининг ҳар ихл соҳаларини ўзаро боғлаб туради.

Учинчи типдаги нейронлар, бу - чўзинчоқ горизонтал жойлашган нейронлар ҳисобланади (*neuronum fusiformie horizontale*), уларнинг ўртача ўлчами $8,5 \pm 0,7$ мкм. Улар асосан донадор ва генглионар қаватлар ораглигидан жойлашади, танаси унча катта бўлмаган чўзинчоқ шаклда, икки томонидан ҳам горизонтал дендритлар ажраган ва улар ганглионар ва донадор қаватларига бориб тугайди. Аксонлари эса донадор қаватда коллатераллар беради ва оқ моддага йўналади

Мияча оқ моддаси нерв ҳужайралар аксонларидан иборат ва улар миячанинг чукур жойларидаги ва Дейтерснинг вестибуляр ядрошига кириб боради. Мияча пўстлогига келадиган афферент толалар икки хил: қўзиқоринли ва чирмашиб кирган толалардан иборат. Қўзиқоринсимон толалар мия кўприги, орқа мия ва вестибуляр ядролар келиб, донадор ҳужайралар орқали Пуркинє ҳужайраларига қўзгатувчи импульслар узатади. Улар мияча донадор қавати каптокчаларида донадор нейронлар дендрит тўхтайди. Ҳар



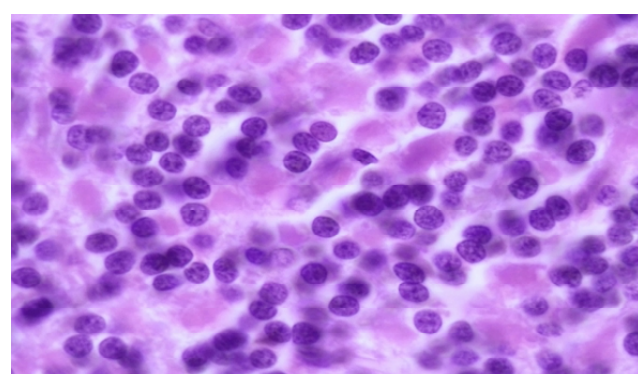
бир тола күп slab каптокчаларга туташади ва ҳар бир каптокча күп қўзиқоринсимон толалардан импульс олади. Демак, қўзиқоринсимон толалардан келадиган сигналлар кучаяди, ҳар бир тола 400-600 донадор нейрон билан туташади. Донадор нейронлар аксонлари молекуляр қават параллел толалари орқали ноксимон ҳужайралар, саватсимон, юлдузсимон нейронлар дендритларига импульсларни узатади

Чирмашувчи толалар миячага оливанинг пастки ядроларидан келади. Оливанинг пастки ядроси варолиев кўпригида жойлашган ва маълумотни орқа мия, мия стволи, бош мия пўстлоғидан олади. Улар донадор қаватни кесиб ўтиб, ноксимон нейронларга туташади. Чирмашувчи толалар ноксимон қўзгатувчи импульсларни бевосита ноксимон нейронларга узатади. Шунинг учун ноксимон нейронлар дегенерацияси ҳаракатлар координациясини бузади.

Демак, мияча пўстлоғига борувчи қўзгатувчи импульслар чирмашувчи толалар ва донадор нейронлар толалари орқали Пуркинье нейронларига етиб боради. Тўхтатувчи импульслар эса молекуляр қават юлдузсимон нейронлари, донадор қават саватсимон ва юлдузсимон нейронларидан келади. Биринчи иккита нейронлар аксонлари эгатлардан қўндаланг ўтиб ноксимон нейронларни тормозлайди. Йўсисимон толалар орқали мияча пўстлоғига келувчи қўзгатувчи сигналлар ийрик юлдузсимон нейронлар синапсларида узулиши мумкин.

Мияча пўстлоғида ҳар хил глиал ҳужайралар учрайди. Донадор қаватда толали ва протоплазматик астроцитлар мавжуд. Толали астроцитлар оёқчалари томирлар атрофида мемброналар пайдо қилади. Миячанинг барча қаватларида олигодендроцитлар мавжуд. Айниқса донадор қават ва оқ модда уларга бой. Ганглионар қаватда Пуркинье нейронлари орасида тўқ ядроли глиал ҳужайралар жойлашган. Уларнинг толалари пўстоқ қавати юзасига йўналган ва молекуляр қаватда глиал толаларни пайдо қилади ва ноксимон нейронлар дендритлари билан туташиб кетади. Молекуляр ва ганглионар қаватларда кўп сонли микроглиялар ҳам учрайди.

Тажриба динамикасида мияча ўрганилганда шу ҳолат аниқландиди, 7-кундан бошлаб мияча чувалчанги тилча бўллаги донадор қавати бироз қалинлашганлиги, меёргдаги $124,6 \pm 4,3$ мкм ўрнига $136,5 \pm 4,2$ мкмга етганлиги кузатилди. Тажрибанинг кейинги даврларига эътибор берадиган бўлсак, 21-кунга келиб бу қаватнинг қалинлиги максимумга этади ва ўртача $142,4 \pm 5,7$

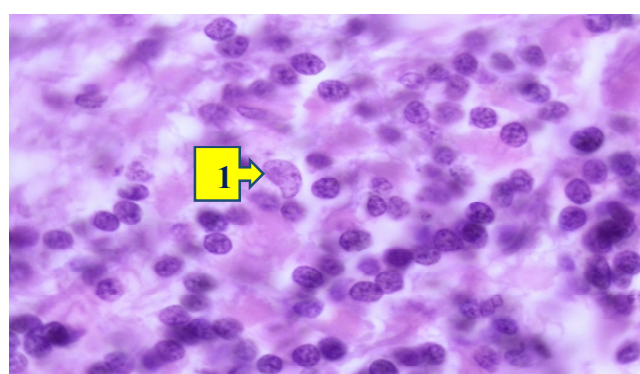


Сурат 1. Мияча чувалчанги тилча бўллаги донадор ҳужайралари. Бўёқ: Г-Э. Катталиги: 10x100.

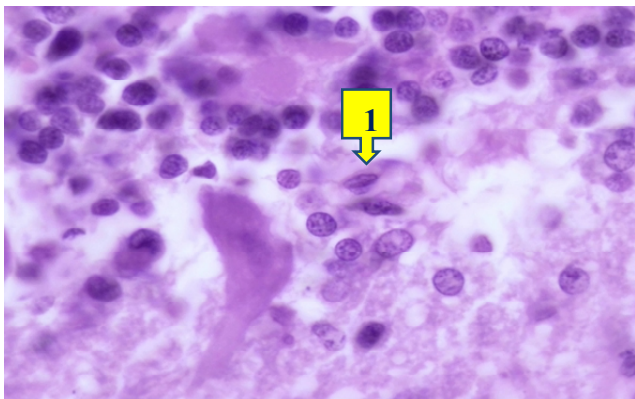
мкмни ташкил қиласи. Кейинги даврларга келиб мияча тўқимасидаги шиш жараёни камайганлиги сабабли бўлса керак, бу қаватнинг қалинлиги камайиб боради, 30-кунда $135,4 \pm 4,8$ мкмга, 60-кунда $122,6 \pm 3,8$ мкмга ва 90-кунда $120,4 \pm 3,6$ мкмгача камаяди. Бу ҳолатни мияча тўқимасида оёқ ампутация жароҳати таъсирида ривожланган шишининг, секин асталик билан йўқолиб боришига, ҳужайраларнинг бир-бiri билан зичроқ жойланишига боғласа бўлади. Бу қаватдаги ҳужайралар сони эса тўқиманинг шишига учраб титилганидан меёргидан ($5754,8 \pm 14,6$) камайганлиги кузатилди ($5324,6 \pm 12,8$). Мияча тўқимасида ривожланган шиши жараёнини ва ҳужайраларнинг титилишидан сийрак жойланишини, бир объектив майдонида жойлашган ҳужайралар сонининг камайишидан билса бўлади. Тажрибанинг 21-кунида ҳужайралар сони меёрга нисбатан мингтага камайганли ва ўртача $4673,5 \pm 11,8$ эканлиги, 30-кунига келиб $4546,6 \pm 10,5$ та, 60-кунда $4218,4 \pm 9,12$ та ва 90-кунда $4122,6 \pm 9,5$ энг кам кўрсатгичга эга эканлиги аниқланди. Донадор қаватнинг ҳужайраларга бойлиги сақланиб қолган, уларнинг асосий қисмини донадор ҳужайралар ташкил қиласи. Оёқ ампутацияси оқибатида мияча тўқимасида шиш ривожланганлигидан, ҳужайралар жойланиши сийраклашган, донадор ҳужайралар меёрга нисбатан бир оз катталашган ва ўртача $7,6 \pm 0,7$ мкмни ташкил қиласи. Бу донадор ҳужайралар барчаси деярлик бир хил катталаикда ва бир-бирига ўхшаш тузилишга эга (рис 1), лекин тажрибанинг 21-кунига келиб уларнинг диаметри максимум ўлчамга кўтарилиганини, яъни ўртача $8,4 \pm 0,5$ мкмга етганлиги кузатилди. Оёқ ампутациясидан кейинги давларида, яъни 30-кунидан донадор ҳужайралар диаметри $7,9 \pm 0,5$ мкм, 60-кунидан $8,5 \pm 0,4$ мкм, 90-кунидан $8,2 \pm 0,3$ мкм эканлиги тасдиқланди.

Ҳайвонлар орқа оёғи ампутация қилингандан кейин динамикада мияча чувалчанги тилча бўллаги пўстлоғи гистологик текширилганда шу ҳолат кузатилди, юлдузсимон ҳужайранинг диаметри меёрга $9,6 \pm 0,9$ мкмга тенг бўлса, тажрибанинг 7-кунидан унинг кескин катталашганлиги кузатилди ва ўртача $10,5 \pm 0,6$ мкмни ташкил қиласи.

Микроскопик текшируда шу нарса аниқландиди, жароҳат таъсирида бу ҳужайрада ҳам ядро, ҳам цитоплазмаси шишиб катталашганлиги, ядросида хроматин меёрга нисбатан сийраклашганлиги кузатилди (Сурат 2). Тажрибанинг 21-кунига келиб бу ҳужайра диаметри максимумгача каттлашганлиги, ўртача $11,6 \pm 0,9$ мкмга етганлиги кузатилди. Тажрибанинг кейинги давларида



Сурат 2. Мияча чувалчанги тилча бўллаги донадор қават юлдузсимон ҳужайраларнинг (1) шишиб кетталашганлиги. Бўёқ: Г-Э. Катталиги: 10x100.



Сурат 3. Мияча чувалчанги тилча бўлаги донадор қават горизонтал ҳужайраларининг (1) деструкцияланаб, кичиклашиши. Бўёқ; Г-Э. X: 10x100.

юлдузсимон ҳужайра ўлчамида бироз стабиллашув кузатилди ва унинг диаметри тажрибанинг 90-кунига келиб мейёрга яқинлашади ва $9,7 \pm 0,4$ мкмни ташкил қиласди.

Мияча чувалчанги тилча бўлагининг яна бир ҳужайраси, яъни горизонтал ҳужайраларда, ампутация жароҳатига жавобан жуда сезиларни ўзгаришлар кузатилди. Бу ҳужайралар аслида донадор қаватнинг ганглионар қават чегарасида жойлашган (сурат 3). Тажрибанинг дастлабки даврларида бу ҳужайра ўлчами ҳам катталашганлиги, 21-кунга келиб ўртacha $9,4 \pm 0,5$ мкмга етганлиги кузатилди. Тажрибанинг кейинги даврларида, айниқса 60- ва 90-кунида бу ҳужайралар дистрофия ва деструкцияяга учраб, цитоплазмаси парчаланиб, ядроси деформацияланаб, айримлари кариопикнозга учраб бужмайганлиги аниқланди. Натижада бу ҳужайраларнинг диаметри 90-кунга келиб минимумгача камайганлиги, ўртacha $6,6 \pm 0,4$ мкмлиги кузатилди, бу эса мейёрга нисбатан ($8,5 \pm 0,7$ мкм) 2мкмга камлиги кузатилди.

Хуносалар:

- Итларда оёқ ампутацияга жавобан мияча чувалчанги тилча бўлаги донадор қавати бироз қалинлашиб, бир майдон бирликдаги ҳужайралари сони камаяди.

- Донадор ҳужайралар ўлчами тажрибанинг 21-куни максимум даражада катталашиб, кейинги даврларида мейёрга яқинлашиб кичиклашади.

- Юлдиҳсимон ҳужайралари тажрибанинг бошлиғи даврларида цитоплазма ва ядросининг шишганлиги ҳисобига кескин катталашади.

- Ушбу тажрибада энг сезиларни ўзгаришлар горизонтал ҳужайраларда кузатилди, яъни тажрибанинг

охирги даврларида уларда дистрофия ва деструкция жараёнлари ривожланишидан, ўлчамлари кескин камаяди ва ҳужайра ядроси деформацияланади.

АДАБИЁТЛАР РУЙХАТИ:

- Ахмедов Р. Л. Межполушарная асимметрия нейронов и цитоархитектоника коры мозжечка у плодов и новорожденных: научное издание / Р. Л. Ахмедов, А. Л. Парпихаджаева // Неврология/-Niftyn/- 2014; 58(N2H9014): 104.
- Ахмедов Р. Л. Межполушарная асимметрия нейронов и цитоархитектоника коры мозжечка у плодов и новорожденных : научное издание / Р. Л. Ахмедов, А. Л. Парпихаджаева // Неврология. - Ташкент, 2014; 58(N2H9014): 41.
- Баландин А.А. Морфологические особенности коры мозжечка при алкогольной болезни : научное издание // Морфология. - СПб, 2012; 141(3): 18-19 (Шифр МО/2012/3)
- Гусев Д. В. Морфометрические характеристики червя мозжечка и его отделов в раннем плодном периоде онтогенеза человека : материалы Всероссийской научной конференции "Актуальные проблемы морфологии, адаптогенеза и репаративных гистогенезов", посвященной памяти чл.-кор. АМН СССР профессора Ф. М. Лазаренко (Оренбург, 19-20 ноября 2013 г.) // Морфология. - СПб., 2013; 144(5): 73-74.
- Косимходжаев И.К. и др. Изменения толщины слоев коры мозжечка после ампутации конечности у собаки. Тезисы конференции / И. К. Косимходжаев, Г. Ж. Улугбекова // Ibn Sino - Avicenna. - Ташкент, 2005; 1-2: 27.
- Chee, M. W. Brain structure in young and old East Asians and Westerners: comparisons of structural volume and cortical thickness / M. W. Chee, H. Zheng, J. O. Goh [et al.] // J. Cogn. Neurosci. 2011; 23: 1065-1079.
- Dell'Acqua, F. MMR diffusion histology and microtractography reveal mesoscale features of the human cerebellum / F. Dell'Acqua, I. Bodi, D. Slater [et al.] // Cerebellum. - 2013; 12(6): 923-931.
- Fjell A.M. et al. Structural brain changes in aging: courses, causes and cognitive consequences / A. M. Fjell, K. B. Walhovd // Rev. Neurosci. - 2010; 21: 187-221.
- Hendelman W. Atlas of functional neuroanatomy / Walter Hendelman. - London : Taylor & Francis Group, 2006; 296: 188.
- Long X. et al. Healthy aging: an automatic analysis of global and regional morphological alterations of human brain / X. Long, W. Liao, C. Jiang [et al.] // Acad. Radiol. - 2012; 19(7): 785-93.
- Marzban H. et al. On the architecture of the posterior zone of the cerebellum / H. Marzban, R. Hawkes // Cerebellum. - 2011; 10(3): 422-34.
- Paxinos G. The rat brain in stereotaxic coordinates / G. Paxinos, C. Watson. - N.Y. // Elsevier acad. Press, 2004; 367.
- Pijpers A. et al. Topography of olivo-cortico-nuclear modules in the intermediate cerebellum of the rat / A. Pijpers, J. Voogd, T. J. Ruigrok // J. Comp. Neurol. - 2005; 492(2): 193-213.
- Pijpers A. Functional anatomy of the intermediate cerebellum in the rat / A. Pijpers. - Rotterdam : Voor tante Duul, 2007; 223.
- Rasser P.E. Cerebellar grey matter deficits in first-episode schizophrenia mapped using cortical pattern matching / P.E. Rasser, L.B. Wilson, U. Schall [et al.] // Neuroimage. - 2010; 53(4): 1175-1180.

Келиб тушган вақти 09.04. 2020